

حلهای خود مشابه شاره های برافزایشی مقاوم و شکسان

قنزی، جمشید - صالحی، فاطمه

دانشگاه فردوسی مشهد - دانشکده علوم پایه

چکیده

حلهای خود مشابه شاره های برافزایشی مقاوم و شکسان با در نظر گرفتن سازوکار اتلاف انرژی در شاره های برافزایشی ارائه می گردد، با این فرض که انتشار مغناطسی ناشی از تلاطم در شاره برافزایشی صورت می گیرد. بدین منظور یک شاره برافزایشی پایای چرخان با تقارن محوری در نظر می گیریم به طوریکه شامل یک میدان مغناطیسی قطبیوار می باشد. اثر و شکسانی بر روی شاره چرخان و غیر چرخان بررسی می شود. با ملاحظه دستور العمل آلفا ($\alpha p = \frac{\mu}{\rho \Omega}$) نشان می دهیم

که با افزایش ضریب آلفا، افزایش سرعت شعاعی و کاهش چگالی شاره در هر دو حالت مذبور صورت می پذیرد. هم چنین این اثر، میدان مغناطیسی قطبیوار را نیز تحت تاثیر قرار می دهد.

مقدمه

قرص های برافزایشی از جمله اجرامی هستند که در اطراف بعضی اجرام اخترفیزیکی همچون هسته های فعال کهکشانی، ستارگان دوتایی و اجرام ستاره ای جوان یافت می شوند. ساختار چنین قرص هایی از طریق حلهای خود مشابه با فرض حالت ناپایا (Mineshige et al. 1997)، (Mineshinge & Umemura 1996) و هم از طریق شبیه سازیهای هیدرودینامیکی عددی (Igumenshchev & Abramowicz 1999, Stone et al. 1999) مورد مطالعه قرار گرفته است. در نتیجه این مطالعات به نظر می رسد که یکی از عوامل مهم که نقش بسزایی بر روی انتقال تکانه زاویه ای در قرص گازی دارد، و شکسانی است. بدین منظور انتخاب یک سازوکار برای انتقال تکانه زاویه ای با در نظر گرفتن مدهایی صورت می پذیرد که از آن جمله می توان، مدل قرص های استاندارد و مدل شاره های برافزایشی پهن رفت را نام برد. به ترتیب اولی توسط (Shakura & Sunyaev 1973) ارائه گردید و مدلی موفق به ویژه برای متغیرهای cataclysmic (Narayan & Popham 1993) است. در این مدل، شاره برافزایشی از نظر هندسی نازک، چرخش کپلری و سرعتها زیر صوتی می باشد. در حالیکه در مدل دومی، انرژی رها شده از طریق فرآیندهای و شکسانی در درون گاز برافزایشی بدام می افتد (Narayan & Yi 1995). به اختصار به این مدل، و شکسان می نامند و به نظر می رسد که طرح های مشاهده ای که توسط این مدل توجیه می شوند ممکن است ناشی از فرآیندهای فیزیکی پیچیده ای شامل میدانهای مغناطیسی باشد. رفتار قرص های برافزایشی در حضور میدان های مغناطیسی توسط بعضی مقاله نویسها مطالعه شده است (Ogilvie 1997, Hawley 2001). به هر حال انتظار می رود که در این شاره های برافزایشی، تکانه زاویه ای توسط میدان مغناطیسی منتقل شود و انرژی از طریق گرمای ژول (Kaburaki 2000) رها شود. به منظور تشخیص آن از مدل ADAF و شکسان، آنرا مدل ADAF مقاوم می نامند زیرا اتلاف انرژی در شاره برافزایشی ناشی از مقاومت الکتریکی است و انتقال تکانه زاویه ای نه فقط

توسط وشکسان بلکه از طریق فشار مغناطیسی حاصل از یک میدان مغناطیسی با مقیاس بزرگ صورت می‌پذیرد. بنابراین هدف از مطالعه حاضر بررسی چگونگی ساختار یک قرص ضخیم پایا وابسته به وشکسانی و مقاومتش با حل کردن معادلات MHD دو بعدی است به طوریکه آنها از نظر شعاعی خود مشابه هستند. مطالعاتان محدود می‌شود به شاره‌های برافزايشی غير چرخان و چرخان که به طور خالص شامل میدان مغناطیسی قطبیوار می‌باشند.

تجزیه و تحلیل

برای سادگی، خودگرانشی چشم پوشی می‌شود. قانون گاز کامل را به صورت $p = \rho c^2$ تعریف می‌کنیم و معادلات پایه را به صورت زیر بکار می‌بریم:

$$\frac{\partial \rho}{\partial t} + \nabla \cdot (\rho v) = 0 \quad (1)$$

$$\rho \left(\frac{\partial v}{\partial t} + (v \cdot \nabla) v \right) = -\nabla p - \rho \Delta \Psi + \mu \nabla^2 v + \left(\mu_b + \frac{1}{3} \right) \nabla (\nabla \cdot v) + \frac{1}{4\pi} J \times B \quad (2)$$

$$\frac{\partial B}{\partial t} = \nabla \times (v \times B - \eta J) \quad (3)$$

$$\nabla \cdot B = 0 \quad (4)$$

$$\frac{\rho}{\gamma - 1} \frac{d}{dt} \left(\frac{p}{\rho} \right) + p \nabla \cdot v = Q_{diss} - Q_{cool} \quad (5)$$

هم چنین برای سادگی، ضریب مقاومتی را ثابت فرض می‌کنیم (*Kaburaki 2000*) و به صورت $\eta = \eta_0 \frac{p}{\rho \Omega}$ تعریف می‌کنیم که در آن

(*Narayan & Yi 1994*) $v = \frac{\alpha p}{\rho \Omega}$ است. دستور العمل آلفا $\Omega = \left(\frac{GN}{r^3} \right)^{1/2}$ را

برای وشکسانی بکار می‌بریم و یک شکل مناسبی را برای میدان مغناطیسی معرفی می‌کنیم:

$$B = \frac{1}{2\pi} \nabla \times \left(\frac{\Psi}{r \sin \theta} e_\Phi \right) + B_\Phi e_\Phi \quad (6)$$

با در نظر گرفتن شاره‌های خود مشابه، یک حل از شکل زیر را جستجو می‌کنیم:

$$\rho(r, \theta) = \rho_0 \frac{\rho(\theta)}{\left(\frac{r}{r_0} \right)^{3/2}} \quad (7)$$

$$p(r, \theta) = p_{\circ} \frac{p(\theta)}{\left(\frac{r}{r_{\circ}}\right)^{5/2}} \quad (8)$$

$$v_r(r, \theta) = r\Omega(r)V(\theta) \quad (9)$$

$$v_{\Phi}(r, \theta) = r\Omega(r)\Omega(\theta) \quad (10)$$

$$B_r(r, \theta) = \frac{B_{\circ}}{2\pi \sin \theta} \frac{dB(\theta)}{d\theta} \frac{1}{\left(\frac{r}{r_{\circ}}\right)^{5/4}} \quad (11)$$

$$B_{\theta}(r, \theta) = -B_{\circ} \frac{3B(\theta)}{8\pi \sin \theta} \frac{1}{\left(\frac{r}{r_{\circ}}\right)^{5/4}} \quad (12)$$

$$B_{\Phi}(r, \theta) = B_{\circ} \frac{b(\theta)}{\left(\frac{r}{r_{\circ}}\right)^{5/4}} \quad (13)$$

با جانشینی حل بالا در معادلات پایه یک جموعه از معادلات دیفرانسیلی معمولی را بر حسب θ بدست می آوریم :

$$\rho(1 - \frac{V^2}{2} - \Omega^2 \sin^2 \theta) = A_1 p(2.5 - \alpha V + \alpha \frac{dV}{d\theta} \cot \theta) + \alpha A_1 \frac{d}{d\theta}(p \frac{dV}{d\theta}) + \frac{A_2}{16\pi} \left\{ b^2 + \frac{3B}{4\pi^2 \sin \theta} \left[\frac{3B}{16 \sin \theta} - \frac{d}{d\theta} \left(\frac{1}{\sin \theta} \frac{dB}{d\theta} \right) \right] \right\} \quad (14)$$

$$-\rho \Omega^2 \sin \theta \cos \theta = -A_1 \frac{dp}{d\theta} + \frac{\alpha}{2} A_1 p \frac{dV}{d\theta} + \alpha A_1 \frac{d}{d\theta}(pV) + \frac{A_2}{4\pi} \left\{ \frac{1}{4\pi^2 \sin \theta} \frac{dB}{d\theta} \times \left[\frac{3B}{16 \sin \theta} - \frac{d}{d\theta} \left(\frac{1}{\sin \theta} \frac{dB}{d\theta} \right) \right] - \frac{b}{\sin \theta} \frac{d}{d\theta}(b \sin \theta) \right\} \quad (15)$$

$$\begin{aligned} \frac{1}{2} \rho V \Omega \sin \theta &= -\frac{3}{4} \alpha A_1 p \Omega \sin \theta + \alpha A_1 (p \frac{d\Omega}{d\theta} \cos \theta + \frac{dp}{d\theta} \frac{d\Omega}{d\theta} \sin \theta + \\ p \frac{d}{d\theta} \frac{d\Omega}{d\theta} \sin \theta) + 2\alpha A_1 p \frac{d\Omega}{d\theta} \cos \theta - \frac{A_2}{32\pi^2 \sin \theta} [b \frac{dB}{d\theta} + \frac{3B}{\sin \theta} \frac{d}{d\theta}(b \sin \theta)] \quad (16) \\ &\quad 2\pi V b \rho - \rho \frac{d}{d\theta}(\Omega \Psi) - \rho \Omega \frac{dB}{d\theta} + \\ \frac{\eta_{\circ} \pi A_1}{2} pb + \frac{8\pi \eta_{\circ} A_1}{3} \frac{d}{d\theta} [\frac{p}{\rho \sin \theta} \frac{d}{d\theta}(b \sin \theta)] &= 0 \quad (17) \end{aligned}$$

$$\begin{aligned} \rho V \frac{3\gamma - 5}{2(\gamma - 1)} &= f\alpha(3V^2 + (\frac{dV}{d\theta})^2 + \frac{9}{4}\Omega^2 \sin^2 \theta + (\frac{d\Omega}{d\theta})^2 \sin^2 \theta) \rho + \\ \frac{f\eta_{\circ} A_2}{4\pi} \left\{ \frac{1}{4\pi^2} \left[\frac{3B}{16 \sin \theta} - \frac{d}{d\theta} \left(\frac{1}{\sin \theta} \frac{dB}{d\theta} \right) \right]^2 + \frac{b^2}{16} + \left[\frac{1}{\sin \theta} \frac{d}{d\theta}(b \sin \theta) \right]^2 \right\} \quad (18) \end{aligned}$$

معادلات بالا، یک جموعه معادلات دیفرانسیلی معمولی را برای توابع $V(\theta), \Omega(\theta), \rho(\theta), B(\theta), P(\theta)$ به نمایش می‌گذارند.

شرایط مرزی بین صفحه استوایی $\theta = \frac{\pi}{2}$ و محور چرخش $\theta = 0$ مشخص می‌شود. در $\theta = \frac{\pi}{2}$ ، با در نظر گرفتن تقارن داریم:

$$\frac{dV}{d\theta} = \frac{d\Omega}{d\theta} = \frac{dp}{d\theta} = \frac{dB}{d\theta} = 0 \quad (19)$$

در $\theta = 0$ ، سعی می‌کنیم حل‌هایی خوش رفتار و بدون تکینگی بدست آوریم. بنابراین داریم:

$$\frac{dV}{d\theta} = \frac{d\Omega}{d\theta} = \frac{dp}{d\theta} = 0 \quad V = 0 \quad (20)$$

حل‌های عددی معادلات مذکور را برای مقادیر مختلف f (در $f = \frac{Q_{cool}}{1 - Q_{diss}}$) دو حالت شاره‌های چرخان و غیر چرخان بدست می‌آوریم.

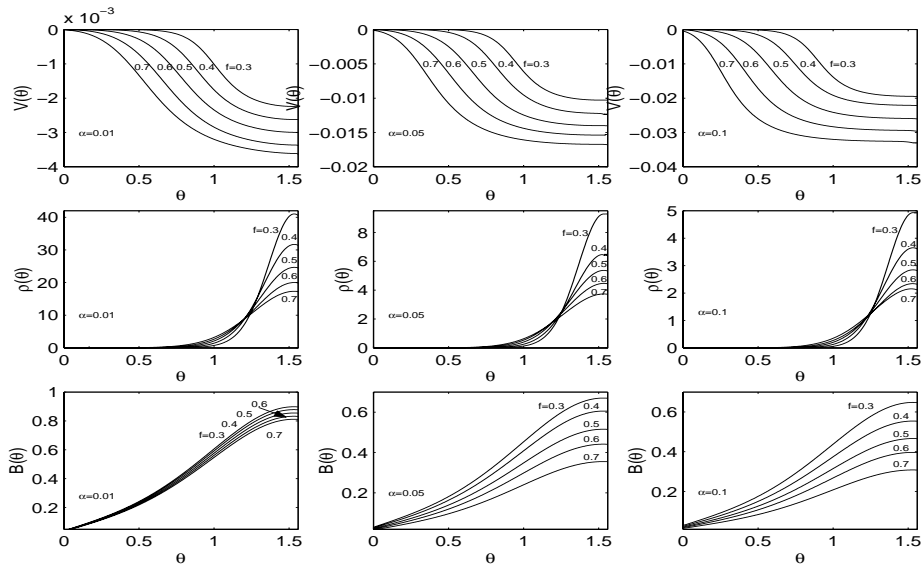
نتیجه گیری

۱- تابع خود مشابه سرعت شعاعی دارای یک بیشینه در ناحیه استوایی است و بر روی محور قطبی هیچ گونه شاره جرمی وجود ندارد. با کاهش f ، ناحیه استوایی با سرعت بیشینه باریک می‌شود. هم چنین در می‌یابیم که سرعت شعاعی با افزایش پارامتر آلفا در هر دو حالت شاره غیر چرخان و چرخان افزایش می‌یابد. (شکل ۲۱ و ۲۰)

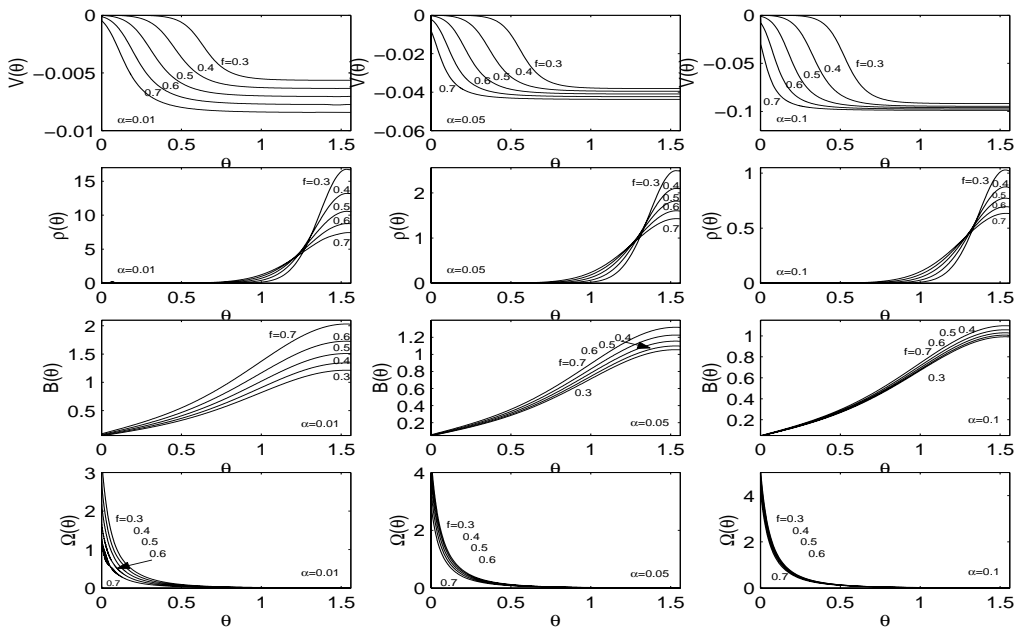
۲- تابع خود مشابه چگالی در هر دو حالت شاره غیر چرخان و چرخان، بین نواحی استوایی و قطبی مرکز می‌شود به طوریکه با کاهش مقادیر f افزایش و با افزایش آلفا کاهش می‌یابد. حل‌هایی با f کوچک مطابق با سردشوندگی موثر است. بنابراین حل $f = 0$ مانند یک قرص قخت به نظر می‌رسد. در حالیکه حل $f = 2$ به یک قرص نازک استاندارد نزدیک می‌شود. (شکل ۲۰ و ۲۱)

۳- تابع خود مشابه شار مغناطیسی برای شاره‌های غیر چرخان افزایش می‌یابد همان طور که انرژی پهن رفت کاهش می‌یابد (یعنی برای f کوچک) در حالیکه با افزایش پارامتر آلفا کاهش می‌یابد. از طرفی رفتار مختلفی را از آن برای قرص‌های چرخان می‌بینیم. به طوریکه با کاهش f و افزایش پارامتر آلفا برای شاره‌های چرخان کاهش می‌یابد. (شکل ۲۱ و ۲۰)

۴- در محاسباتان به این نتیجه می‌رسیم که $\Omega B^2 = cte.$ است. بنابراین B و Ω به طور معکوس رفتار می‌کنند. (شکل ۲)



شکل ۱: حلهای خود مشابه مطابق با $\gamma = \frac{4}{3}$ ، $\beta_0 = ۰.۱$ ، $\eta_0 = ۰.۱$ و $\alpha = ۰.۰۱$ ، ۰.۰۵ ، ۰.۱ برای شاره های برافزایشی غیر چرخان. به ترتیب از بالا به پایین عبارتند از: $V(\theta)$ سرعت شعاعی، $\rho(\theta)$ چگالی و $B(\theta)$ شار مغناطیسی به صورت تابعی از زاویه قطبی.



شکل ۲: حلهای خود مشابه مطابق با $\gamma = \frac{4}{3}$ ، $\beta_0 = ۰.۱$ ، $\eta_0 = ۰.۱$ و $\alpha = ۰.۰۱$ ، ۰.۰۵ ، ۰.۱ برای شاره های برافزایشی چرخان. به ترتیب از بالا به پایین عبارتند از: $V(\theta)$ سرعت شعاعی، $\rho(\theta)$ چگالی، $B(\theta)$ شار مغناطیسی و $\Omega(\theta)$ سرعت زاویه ای به صورت تابعی از زاویه قطبی.

References

- [¹] Hawley, J. F. 2001, *ApJ*, **554**, 534
- [²] Igumenshchev, I. V., & Abramowicz, M. A., 1999, *MNRAS*, **303**, 309
- [³] Kaburaki, O. 2000, *ApJ*, **531**, 210
- [⁴] Mineshige, S., & Umemura, M. 1997, *ApJ*, **480**, 167
- [⁵] Mineshige, S., Nakayama, K., & Umemura M. 1997, *Publ.Astron.Soc*, **49**, 439
- [⁶] Narayan, R., & Popham, R. 1993, *Nature*, **362**, 820
- [⁷] Narayan, R., & Yi, I. 1995, *ApJ*, **444**, 231
- [⁸] Ogilvie, G. I. 1997, *MNRAS*, **288**, 63
- [⁹] Shakura, N. I., & Sunyaev, R.A. 1973, *A&A*, **24**, 337
- [¹⁰] Stone, J. M., Pringle, J. E., & Begelman, M. C. 1999, *MNRAS*, **310**, 1002